



UNIVERSIDADE ESTADUAL DE CAMPINAS
FACULDADE DE ENGENHARIA ELÉTRICA E DE COMPUTAÇÃO
EA619R – LABORATÓRIO DE ANÁLISE LINEAR
PROF. RENATO DA ROCHA LOPES
PROF. RICARDO CORAÇÃO DE LEÃO FONTOURA DE OLIVEIRA

RELATÓRIO DO EXPERIMENTO 4:
SIMULAÇÃO DE SISTEMAS DINÂMICOS

Bryan Wolff

RA: 214095

João Luís Carvalho de Abreu

RA: 175997

Campinas
Junho de 2021

VÍDEOS DEMONSTRATIVOS:

- [João Luís Carvalho de Abreu](#)
- [Bryan Wolff](#)

INTRODUÇÃO E OBJETIVOS:

Este experimento objetiva analisar determinados sistemas dinâmicos a partir de equações diferenciais lineares e não-lineares. Os estudos foram realizados a partir do software Matlab, no qual foi simulado os comportamentos desses sistemas ao decorrer do tempo e os *scripts* implementados e utilizados estão disponibilizados em arquivos anexados a este relatório, assim como seus valores computados serão demonstrados no decorrer do desenvolvimento teórico.

1. ATIVIDADE 1

A partir do sistema dinâmico representado pela equação diferencial abaixo:

$$\ddot{y}(t) + (2 + 6p)\dot{y}(t) + (9 + 12p)y(t) = 18x(t)$$

em que p é um parâmetro desconhecido pertencente à faixa $[0.1, 1.2]$, foi implementado um diagrama em Simulink do Matlab utilizando como base os integradores. O diagrama está disponibilizado em anexos com o nome “*sistemaLinearOrdem3.slx*”, juntamente com o *script* do dessa atividade dada como “*atividade1.m*”, também disponível no [Anexo A](#). O objetivo dessa atividade é avaliar o valor do máximo sobressinal M_p , dado por $(y_{\max} - y_{\text{final}}) / y_{\text{final}}$, por meio de simulações para vários valores de p .

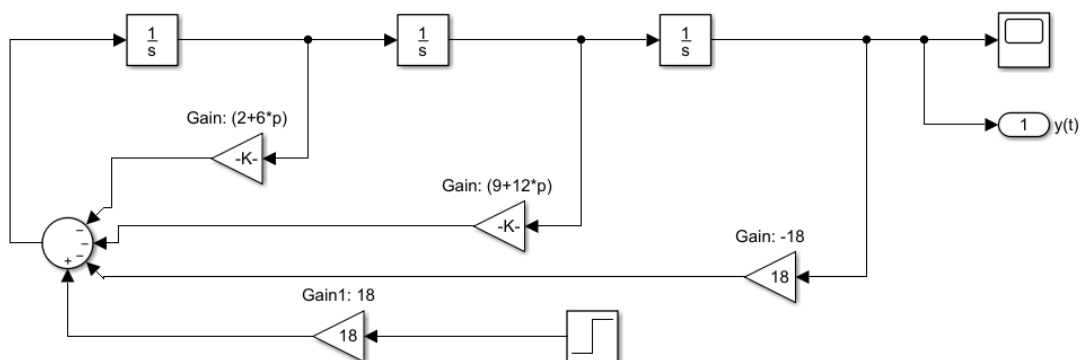


Figura 1: Diagrama Simulink do sistema dinâmico para condições iniciais nulas.

Para esse sistema, em função da incerteza do parâmetro p , a determinação do máximo

sobressinal M_p pode ser feita por meio de simulações exaustivas, testando diversos valores de p , e para isso, vamos computar a solução da equação para 50 valores igualmente espaçados na faixa de p . Assim, foi gerado o seguinte gráfico:

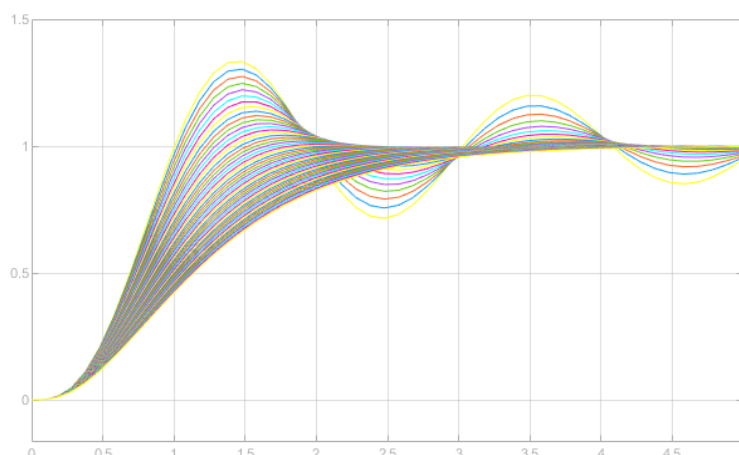


Figura 2: Resposta no tempo do sistema para as várias simulações exaustivas.

Por meio desta simulação e de todos os valores de $y(t)$ das curvas obtidas, é possível analisar o comportamento do sobressinal do sistema dinâmico estudado e obter os seguintes resultados:

1.1. VALOR MÁXIMO PARA O SOBRESSINAL

O sobressinal assume seu valor máximo quando $M_p = 0.335$, para $p = 0.1$, dado pelo instante de tempo 1.479 s.

1.2. TEMPO DE SUBIDA T_s :

O tempo necessário para a trajetória alcançar 100% do valor de referência aplicado na entrada, isto é, $y(t) = 1$, foi de 1.079 s.

1.3. TEMPO DE ACOMODAÇÃO T_A :

O instante de tempo a partir do qual a trajetória permanece dentro de uma faixa de 2% de seu valor final, isto é, dentro da faixa $[0.98, 1.02]$, foi de 9.179 s.

1.4. SOBRESSINAL MENOR QUE 7%

A subfaixa para a qual o sobressinal é menor ou igual a 7% é obtido quando o valor de p

está compreendido entre 0.392 e 1.200. Além disso, os pólos da função pertencentes ao intervalo de p obtido anteriormente são dados por: $-1.1755 + 2.7601i$; $-1.1755 - 2.7601i$; $-2.0000 + 0.0000i$.

1.5. FAIXA EM QUE NÃO OCORRE SOBRESSINAL

A faixa de p para a qual não há sobressinal, isto é, o sobressinal é menor que 1% ($M_p \leq 0.01$) é dado por 0.549 e 1.200.

2. ATIVIDADE 2

O objetivo dessa atividade é estudar o movimento de um pêndulo simples, dado pela Figura 3, sob ação da aceleração da gravidade g com uma haste rígida de comprimento l que balança uma massa m , que é regido pela seguinte equação diferencial:

$$\ddot{\theta}(t) + \beta \dot{\theta}(t) + \frac{g}{\ell} \sin \theta(t) = 0$$

em que β é um coeficiente de amortecimento proporcional à velocidade angular do pêndulo. Adotou-se um pêndulo não amortecido, isto é, $\beta = 0$.

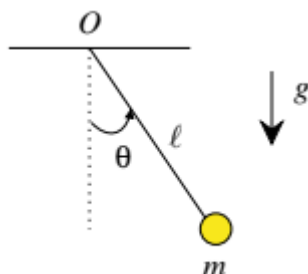


Figura 3: Pêndulo Simples.

O *script* dessa atividade está disponível no [Anexo B](#), e também nos arquivos enviados com o nome “atividade2.m”.

2.1. REPRESENTAÇÃO EM ESPAÇO DE ESTADOS E ANÁLISE DOS PONTOS DE EQUILÍBRIO

Como foi adotado um pêndulo não amortecido, isto é, $\beta = 0$, a equação a ser analisada pode

ser reescrita como:

$$\theta''(t) + \frac{g}{l} \sin(\theta(t)) = 0$$

Para obter a representação de espaço de estados, definiu-se as variáveis x_1 e x_2 como:

$$x_1 = \theta(t); \quad x_2 = \theta'(t)$$

Então,

$$x_1' = x_2$$

$$x_2' = -\frac{g}{l} \sin(x_1)$$

Dessa forma, é possível verificar os pontos de equilíbrio do sistema, isto é, verificar o comportamento da função quando $x_1' = x_2 = 0$.

$$-\frac{g}{l} \sin(x_1) = 0 \Rightarrow \sin(x_1) = 0$$

Logo,

$$x_1 = n\pi \quad n = 0, \pm 1, \pm 2, \dots$$

Portanto, os pontos de equilíbrio são dados pelos pares ordenados $(n\pi, 0)$, onde n é um número inteiro $(0, \pm 1, \pm 2, \dots)$.

2.2. MODELO LINEARIZADO EM TORNO DOS PONTOS DE EQUILÍBRIO

Adotando-se o comprimento da haste como $l = 1 \text{ m}$ e a aceleração da gravidade como $g = 9,81 \text{ m/s}^2$, pode-se obter o modelo linearizado em torno dos pontos de equilíbrio $(0,0)$ e $(\pi,0)$. Vale ressaltar que o modelo linearizado é definido por $x' = Ax + Bu$ em que, neste caso, $B \cdot u = 0$ devido à ausência de entrada. Dessa forma, definiu-se as funções f_1 e f_2 para a construção da matriz A da seguinte forma:

$$f_1 = x_1; \quad f_2 = -g \sin(x_1)$$

$$A = \begin{bmatrix} \frac{\partial f_1}{\partial x_1} & \frac{\partial f_1}{\partial x_2} \\ \frac{\partial f_2}{\partial x_1} & \frac{\partial f_2}{\partial x_2} \end{bmatrix}$$

Então,

$$A = \begin{bmatrix} 0 & 1 \\ -g \cos(x_1) & 0 \end{bmatrix}$$

Dessa forma, o modelo linearizado pode ser representado como:

$$\begin{bmatrix} x_1' \\ x_2' \end{bmatrix} = \begin{bmatrix} 0 & 1 \\ -g \cos(x_1) & 0 \end{bmatrix} * \begin{bmatrix} x_1 \\ x_2 \end{bmatrix}$$

No sistema linearizado em torno do ponto de equilíbrio $(x_1, x_2) = (0, 0)$, é dado por:

$$\begin{bmatrix} x_1' \\ x_2' \end{bmatrix} = \begin{bmatrix} 0 & 1 \\ -g & 0 \end{bmatrix} * \begin{bmatrix} x_1 \\ x_2 \end{bmatrix}$$

Já no ponto de equilíbrio $(x_1, x_2) = (\pi, 0)$, o sistema linearizado é dado por:

$$\begin{bmatrix} x_1' \\ x_2' \end{bmatrix} = \begin{bmatrix} 0 & 1 \\ g & 0 \end{bmatrix} * \begin{bmatrix} x_1 \\ x_2 \end{bmatrix}$$

2.3. ESTABILIDADE DO SISTEMA

Para calcular a estabilidade do sistema obtido no item anterior, é necessário calcular os autovalores associados à matriz A em cada ponto de equilíbrio. Para isso, primeiramente foram calculados e analisados os autovalores do ponto de equilíbrio $(x_1, x_2) = (0, 0)$:

$$\det(\lambda I - A) = \det \begin{pmatrix} \lambda & -1 \\ g & \lambda \end{pmatrix} = 0$$

Então,

$$\lambda^2 + g = 0 \Rightarrow \lambda = \pm j\sqrt{g}$$

Dessa forma, como o autovalor não apresenta parte real, trata-se de um comportamento oscilatório estável.

Agora, foram analisados os autovalores do ponto de equilíbrio $(x_1, x_2) = (\pi, 0)$:

$$\det(\lambda I - A) = \det \begin{pmatrix} \lambda & -1 \\ -g & \lambda \end{pmatrix} = 0$$

Então,

$$\lambda^2 - g = 0 \Rightarrow \lambda = \pm \sqrt{g}$$

Dessa forma, como o sistema apresenta um autovalor positivo e um autovalor negativo, ele é caracterizado por um comportamento oscilatório instável.

2.4. SIMULAÇÃO DO PÊNDULO SIMPLES PARA CONDIÇÃO INICIAL $(\theta(0), \omega(0)) = (\pi/10, 0)$

A partir do comando *ode45* do Matlab, e dada a condição inicial $(\theta(0), \omega(0)) = (\frac{\pi}{10}, 0)$, o comportamento do sistema pode ser obtido através da simulação de um gráfico de $\theta(t)$ e $\omega(t)$. Além disso, é possível visualizar o vídeo da simulação através deste [link](#). Dessa forma, foi possível obter as seguintes simulações:

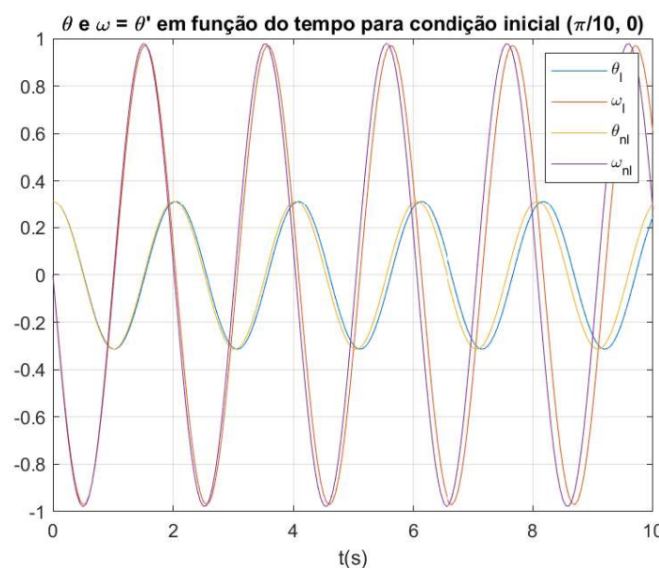


Figura 4: Simulação de $\theta(t)$ e $\omega(t)$ para os casos linear (l) e não linear (nl) dada a condição inicial

$$(\theta(0), \omega(0)) = \left(\frac{\pi}{10}, 0\right).$$

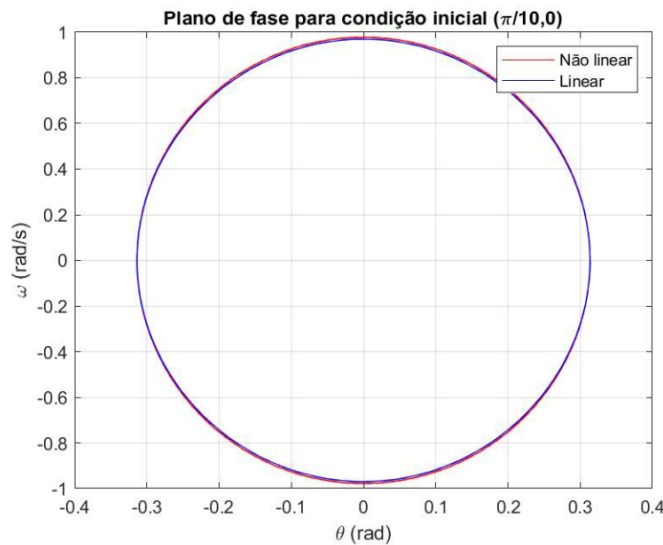


Figura 5: Plano de fase para a condição inicial $(\theta(0), \omega(0)) = \left(\frac{\pi}{10}, 0\right)$.

2.4.1. DEFASAGEM ENTRE AS SIMULAÇÕES PARA CONDIÇÃO INICIAL $(\theta(0), \omega(0)) = (\pi/10, 0)$

Por fim, implementou-se uma função para o cálculo da defasagem angular no tempo entre os modelos de simulação não linear e linear e uma outra função para a verificação das defasagens superiores a 2° - ambas disponíveis no [Anexo B](#) deste relatório. O cálculo da defasagem representa a diferença modular entre $\theta_{\text{nao_linear}}(t)$ e $\theta_{\text{linear}}(t)$ dado um mesmo instante de tempo.

Para a condição inicial $(\theta(0), \omega(0)) = \left(\frac{\pi}{10}, 0\right)$ e tendo em vista a defasagem superior a 2° , os seguintes intervalos de tempo foram obtidos e o seguinte gráfico foi esboçado:

| Intervalos de tempo com defasagem superior a 2° |
|--|
| [3.404 , 3.804] |
| [4.354 , 4.904] |
| [5.304 , 5.954] |
| [6.254 , 7.004] |
| [7.254 , 8.004] |

| |
|------------------|
| [8.254 , 9.054] |
| [9.254 , 10.000] |

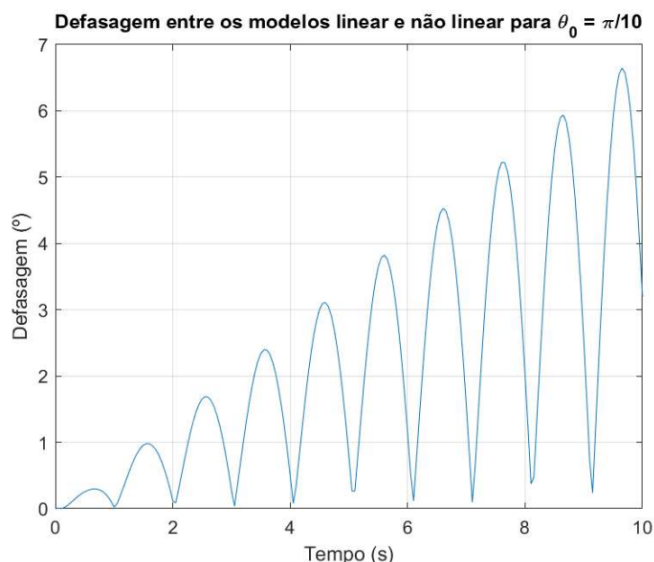


Figura 6: Simulação da defasagem entre os dois modelos implementados (linear e não linear) para a condição inicial $(\theta(0), \omega(0)) = (\frac{\pi}{10}, 0)$.

A partir das informações acima, é possível afirmar que a diferença na defasagem entre as simulações linear e não linear aumenta com a passagem do tempo. Apesar disso, o comportamento dos dois modelos para a condição inicial em questão é relativamente próximo, sendo possível verificar a discrepância de 2° apenas a partir do instante 3,404 s.

2.5. SIMULAÇÃO DO PÊNDULO SIMPLES PARA CONDIÇÃO INICIAL $(\theta(0), \omega(0)) = (\pi/4, 0)$

A partir do comando *ode45* do Matlab, e dada a condição inicial $(\theta(0), \omega(0)) = (\frac{\pi}{4}, 0)$, o comportamento do sistema pode ser obtido através da simulação de um gráfico de $\theta(t)$ e $\omega(t)$. Além disso, é possível visualizar o vídeo da simulação através deste [link](#). Dessa forma, foi possível obter as seguintes simulações:

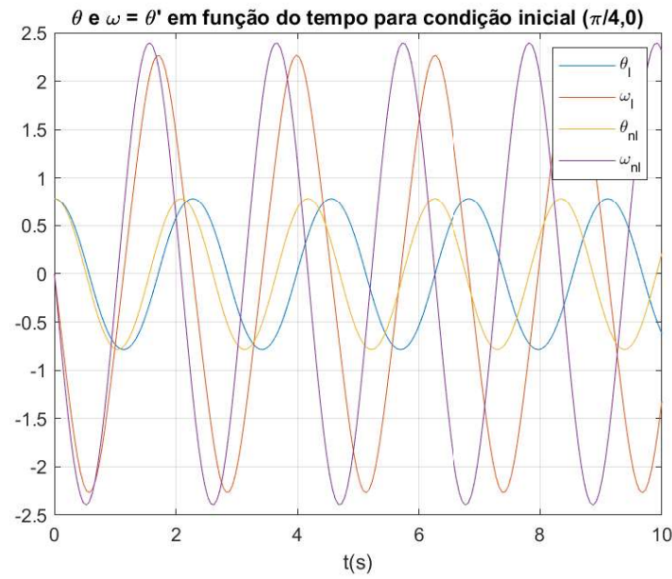


Figura 7: Simulação de $\theta(t)$ e $\omega(t)$ para os casos linear (l) e não linear (nl) dada a condição inicial

$$(\theta(0), \omega(0)) = \left(\frac{\pi}{4}, 0\right).$$

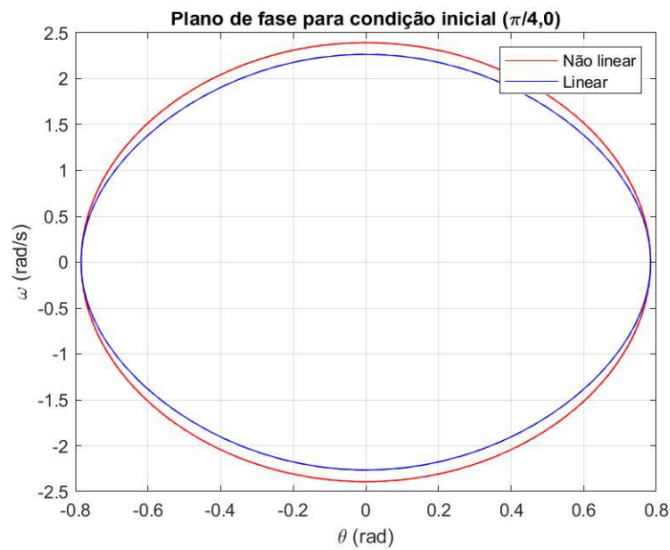


Figura 8: Plano de fase para a condição inicial $(\theta(0), \omega(0)) = \left(\frac{\pi}{4}, 0\right)$.

2.5.1. DEFASAGEM ENTRE AS SIMULAÇÕES PARA CONDIÇÃO INICIAL $(\theta(0), \omega(0)) = (\pi/4, 0)$

Analogamente ao processo realizado para a condição inicial anterior, neste caso utilizou-se as mesmas funções citadas anteriormente. Para a condição inicial em questão, foram obtidos os

seguintes intervalos de tempo e o seguinte gráfico:

| Intervalos de tempo com defasagem superior a 2° |
|--|
| [0.279 , 1.029] |
| [1.179 , 2.179] |
| [2.229 , 3.279] |
| [3.329 , 6.529] |
| [6.579 , 7.629] |
| [7.579 , 10.000] |

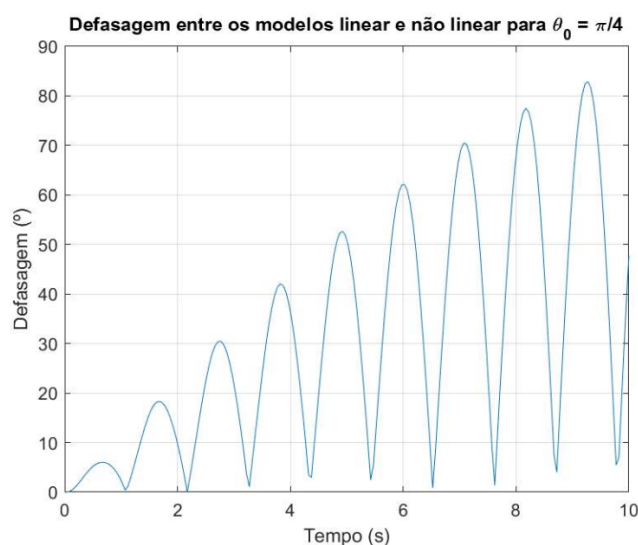


Figura 9: Simulação da defasagem entre os dois modelos implementados (linear e não linear) para a condição inicial $(\theta(0), \omega(0)) = (-\frac{\pi}{4}, 0)$.

Apesar das semelhanças no comportamento do gráfico acima com relação à primeira condição inicial, principalmente pelo aumento da defasagem com a passagem do tempo, neste caso é possível afirmar que o instante de tempo em que a discrepância excede os 2° é menor do que o caso anterior. Para a condição $(\theta(0), \omega(0)) = (-\frac{\pi}{4}, 0)$, essa diferença passa a ser verificada mais especificamente a partir de 0,279s.

3. ATIVIDADE 3

O objetivo dessa atividade é estudar o comportamento de um pêndulo duplo ilustrado na

figura abaixo, em que m_1 e m_2 são massas dos corpos, o valor l_1 é a distância da origem O ao corpo de massa m_1 e l_2 é a distância entre o corpo de massa m_1 e o corpo de massa m_2 .

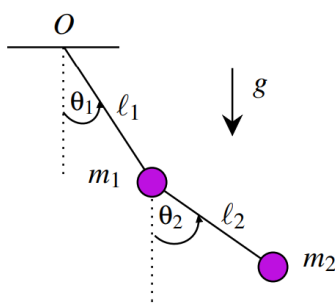


Figura 10: Pêndulo duplo.

A dinâmica do movimento do pêndulo duplo pode ser modelada por meio do seguinte conjunto de equações diferenciais não lineares:

$$\dot{\theta}_1 = \omega_1$$

$$\dot{\omega}_1 = \frac{-g(2m_1 + m_2)\sin(\theta_1) - m_2 g \sin(\theta_1 - 2\theta_2) - 2\sin(\theta_1 - \theta_2)m_2(\omega_2^2 l_2 + \omega_1^2 l_1 \cos(\theta_1 - \theta_2))}{l_1(2m_1 + m_2 - m_2 \cos(2\theta_1 - 2\theta_2))}$$

$$\dot{\theta}_2 = \omega_2$$

$$\dot{\omega}_2 = \frac{2\sin(\theta_1 - \theta_2)(\omega_1^2 l_1(m_1 + m_2) + g(m_1 + m_2)\cos(\theta_1) + \omega_2^2 l_2 m_2 \cos(\theta_1 - \theta_2))}{l_2(2m_1 + m_2 - m_2 \cos(2\theta_1 - 2\theta_2))}$$

Os parâmetros são escolhidos arbitrariamente ao início, desde que estejam dentro da faixa $[0.5, 2]$. Dessa forma, foram escolhidos os seguintes parâmetros para efetuar a simulação:

$$l_1 = 1; \quad m_1 = 2; \quad l_2 = 0,5; \quad m_2 = 0,5.$$

Agora, a partir do comando *ode45* do Matlab, desenvolveu-se um *script* - disponível no [Anexo C](#) e nos arquivos enviados com o nome “*atividade3.m*” - de forma a estudar o comportamento do sistema, que pode ser obtido através da simulação de um gráfico de $\theta(t)$ e $\omega(t)$. Além disso, é possível visualizar o vídeo da simulação através deste [link](#). Dessa forma, foi possível obter as seguintes simulações:

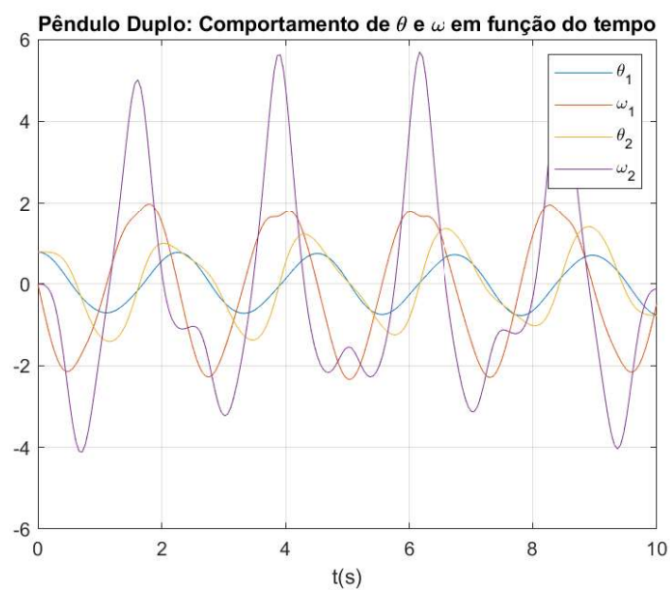


Figura 11: Simulação de $\theta(t)$ e $\omega(t)$ do Pêndulo Duplo.

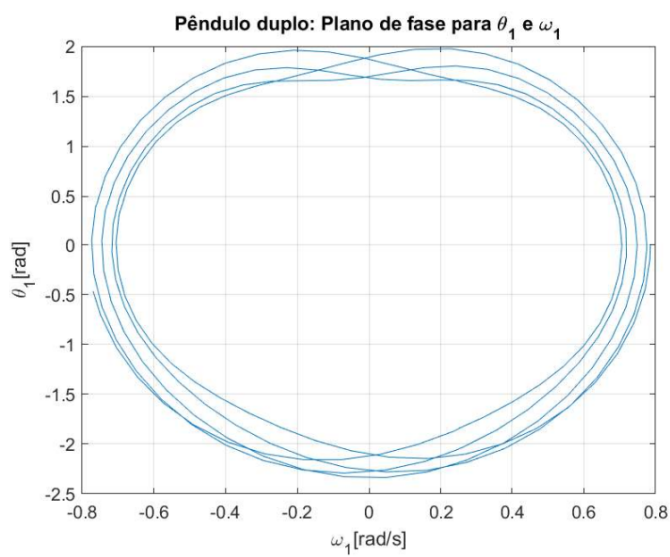


Figura 12: Plano de fase do Pêndulo Duplo para $\theta_1(t)$ e $\omega'_1(t)$.

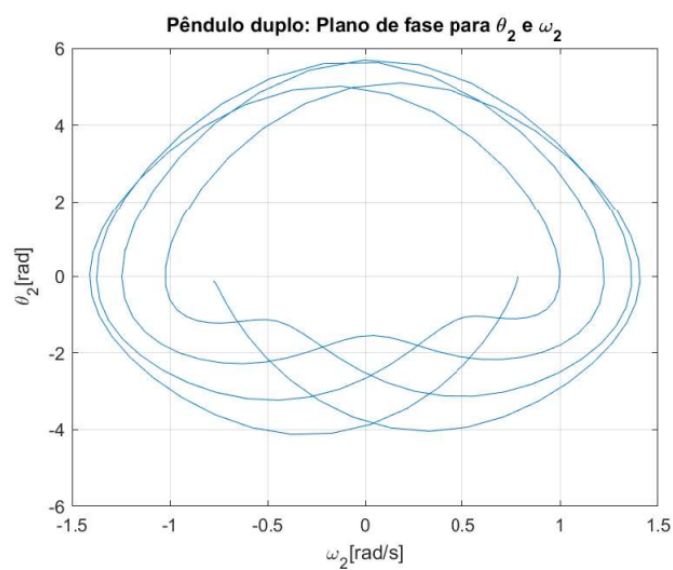


Figura 13: Plano de fase do Pêndulo Duplo para $\theta_2(t)$ e $\omega'_2(t)$

4. ANEXO A: SCRIPT DA ATIVIDADE 1

```

1      % Atividade 1
2
3      close all; clear all; clc;
4
5      % Equação diferencial:
6      %  $y'''(t) + (2+6p)y''(t) + (9+12p)y'(t) + 18y(t) = 18x(t)$ 
7      % em que p é um parâmetro desconhecido, pertencente à faixa p ? [0.1,1.2]
8
9      %-----%
10     %-----%
11
12     % Questão 3
13     p = linspace(0.1,1.2,50);
14
15     % Script para a chamada do diagrama desenvolvido no item 1
16     for i = 1:50
17         simOut = sim('sistemaLinearOrdem3','SrcWorkspace','current','maxstep','0.1');
18     end
19
20     %-----%
21     %-----%
22
23     %Questão 4
24
25     % (a)
26     fprintf('Item (a)\n');
27     % valor final em que y estabiliza
28     y_f = simOut.yout{1}.Values.Data(end);
29
30     % [maior valor de y, posição do maior valor de y]
31     [m,pm] = max(simOut.yout{1}.Values.Data);
32
33     % [valor máximo para o sobressinal, índice do valor máximo]
34     [y_max, i] = max(m);
35     m_max = (y_max - y_f)/y_f;
36     fprintf("Valor máximo para o sobressinal (Mp): %.3f \n", m_max);
37
38     % valor de p para Mp máximo
39     p_max = p(i);
40     fprintf('Valor de p para o máximo Mp: %.3f \n', p_max);
41
42     % valor de pm para Mp máximo
43     pm_max = pm(i);
44     t_mp_max = simOut.tout(pm_max);
45     fprintf('Instante de tempo para Mp máximo: %.3f s\n', t_mp_max);
46

```



UNICAMP



```
47 % t_s: tempo de subida
48 % valor de referência na entrada: degrau unitário (= 1)
49
50 len_simOut = length(simOut.yout{1}.Values.Data);
51 for k = 1:len_simOut
52     y(k) = simOut.yout{1}.Values.Data(k,i);
53 end
54
55 for j = 1:len_simOut
56     j_index = j;
57     if y(j_index) > 1
58         break
59     end
60 end
61 t_s = simOut.tout(j_index);
62 fprintf('Tempo de subida: %.3f s \n', t_s);
63
64 % t_a: tempo de acomodação
65 % valor de referência na entrada: degrau unitário (= 1)
66 % (1 - 0.02*1) = 0.98
67 % (1 + 0.02*1) = 1.02
68
69 k_in = 0;
70 k_aux = 0;
71 for k = 1:len_simOut
72     if (y(k) >= (1-0.02*1)) && (y(k) <= (1+0.02*1))
73         if (k_aux == 0)
74             k_in = k;
75             k_aux = 1;
76         end
77     else
78         k_aux = 0;
79     end
80 end
81
82 t_a = simOut.tout(k_in);
83 fprintf('Tempo de acomodação: %.3f s\n', t_a);
84 fprintf('-----\n');
85
86 %-----%
87 % (b)
88 fprintf('Item (b)\n');
89 % mp < 0.07 --> mp = (m - y_f)/y_f < 0.07
90 contador = 1;
91 p7 = [];
92 for t = 1:50
93     if ((m(t) - y_f)/y_f) <= 0.07
94         p7(contador) = p(t);
95         contador = contador + 1;
96     end
97 end
```




UNICAMP



FEEC

```
98
99 - fprintf('Subfaixa de p para Mp <= 0.07: (%.3f , %.3f)\n', p7(1),p7(end));
100
101 - fprintf('-----\n');
102
103 %-----%
104 % (c)
105 - fprintf('Item (c)\n');
106
107 % função para definir o p que gera Mp mais próximo de 7%
108 - prox = 1;
109 - for n = 1:50
110     if (abs((m(n) - y_f)/y_f) - 0.07) < prox) %se diferença for menor que a anterior
111         prox = abs((m(n) - y_f)/y_f) - 0.07; %redefine prox
112         p_prox = p(n); %redefine p que gera o sinal
113         mp_p_prox = m(n) - y_f;
114     end
115 - end
116
117 % função de transferência
118 - func_transf = tf(18,[1 (2+6*p_prox) (9+12*p_prox) 18]);
119 - polos = pole(func_transf);
120 - fprintf('Polos da função: \n');
121 - disp(polos);
122
123 - fprintf('-----\n');
124
125 %-----%
126 % (d)
127 - fprintf('Item (d)\n');
128
129 - contador = 1;
130 - p1 = [];
131 - for t = 1:50
132     if ((m(t) - y_f)/y_f) <= 0.01)
133         p1(contador) = p(t);
134         contador = contador + 1;
135     end
136 - end
137
138 - fprintf('Subfaixa de p para Mp <= 0.01: (%.3f , %.3f)\n', p1(1),p1(end));
```

5. ANEXO B: SCRIPT DA ATIVIDADE 2

```

1      % Atividade 2
2 -    clear all; close all; clc;
3
4      %  $p^2\theta + g/l\sin(\theta) = 0$ 
5      %  $x_1 = \theta$ 
6      %  $x_2 = \theta'$ 
7      %  $A = \begin{bmatrix} df_1/x_1 & df_1/x_2 \end{bmatrix} = \begin{bmatrix} 0 & 1 \end{bmatrix}$     $B = \begin{bmatrix} 0 \end{bmatrix}$     $u = 0$ 
8      %  $\begin{bmatrix} df_2/x_1 & df_2/x_2 \end{bmatrix} = \begin{bmatrix} (-g/l)\cos(x_1) & 0 \end{bmatrix}$     $\begin{bmatrix} 0 \end{bmatrix}$ 
9
10     % variáveis globais
11 -    global g; % aceleração da gravidade
12 -    global l; % comprimento da haste
13
14 -    l = 1;
15 -    g = 9.81;
16
17 -    tempoTotal = 10;
18 -    optOde = odeset('maxStep', 0.05);
19
20     % condições iniciais
21 -    x0 = [pi/10 0];
22
23     % sistema linear
24 -    outOde_linear10 = ode45(@linSys, [0 tempoTotal], x0, optOde);
25
26     % sistema não linear
27 -    outOde_ao_linear10 = ode45(@notlinSys, [0 tempoTotal], x0, optOde);
28
29
30     % plot das funções
31 -    figure();
32 -    plot(outOde_linear10.x, outOde_linear10.y);
33 -    hold on
34 -    plot(outOde_ao_linear10.x, outOde_ao_linear10.y)
35 -    xlabel t(s); grid;
36 -    legend("\theta_{l}", "\omega_{l}", "\theta_{nl}", "\omega_{nl}")
37 -    title("\theta e \omega = \theta' em função do tempo para condição inicial (\pi/10, 0)")
38
39     x02 = [pi/4 0];
40     % sistema linear
41 -    outOde_linear4 = ode45(@linSys, [0 tempoTotal], x02, optOde);
42
43     % sistema não linear
44 -    outOde_ao_linear4 = ode45(@notlinSys, [0 tempoTotal], x02, optOde);

```



UNICAMP



FEEC

```
45 % plot das funções
46 figure();
47 plot(outOde_linear4.x, outOde_linear4.y);
48 hold on
49 plot(outOde_nao_linear4.x, outOde_nao_linear4.y)
50 xlabel t(s); grid;
51 legend("\theta_{l}", "\omega_{l}", "\theta_{nl}", "\omega_{nl}")
52 title("\theta e \omega = \theta' em função do tempo para condição inicial (\pi/4,0)")
53
54 % plano de fases para a primeira condição inicial
55 figure()
56 plot(outOde_nao_linear10.y(1,:), outOde_nao_linear10.y(2,:), 'r');
57 title('Plano de fase para condição inicial (\pi/10,0)');
58 hold on
59 plot(outOde_linear10.y(1,:), outOde_linear10.y(2,:), 'b');
60 xlabel('\theta (rad)');
61 ylabel('\omega (rad/s)'); grid;
62 legend('Não linear', 'Linear');
63
64 % plano de fases para a segunda condição inicial
65 figure()
66 plot(outOde_nao_linear4.y(1,:), outOde_nao_linear4.y(2,:), 'r');
67 title('Plano de fase para condição inicial (\pi/4,0)');
68 hold on
69 plot(outOde_linear4.y(1,:), outOde_linear4.y(2,:), 'b');
70 xlabel('\theta (rad)');
71 ylabel('\omega (rad/s)'); grid;
72 legend('Não linear', 'Linear');
73
74 % gerando o video 1
75 geraVideo(outOde_linear10.x, outOde_nao_linear10.y, outOde_linear10.y, tempoTotal, 1, 'pendSimplesCondicao1');
76
77 % gerando o video 2
78 geraVideo(outOde_linear4.x, outOde_nao_linear4.y, outOde_linear4.y, tempoTotal, 1, 'pendSimplesCondicao2');
79
80 % Defasagem
81 defasagem10 = dif(outOde_nao_linear10, outOde_linear10);
82 title('Defasagem entre os modelos linear e não linear para \theta_0 = \pi/10');
83 defasagem4 = dif(outOde_nao_linear4, outOde_linear4);
84 title('Defasagem entre os modelos linear e não linear para \theta_0 = \pi/4');
85
86 disp("Intervalos de tempo com defasagem superior a 2° para pi/10")
87 grau_2(defasagem10, outOde_linear10.x)
88 fprintf("\n\n")
89 disp("Intervalos de tempo com defasagem superior a 2° para pi/4")
90 grau_2(defasagem4, outOde_linear4.x)
91 fprintf("\n\n")
92
93 function defasagem = dif(nao_linear, linear)
94     defasagem = abs(rad2deg(nao_linear.y(1,:) - linear.y(1,:)));
95     figure()
96     plot(nao_linear.x, defasagem); grid;
97     ylabel('Defasagem (°)'); xlabel('Tempo (s)');
98 end
```



UNICAMP



FEEC

```
99
100 function intervalo_tempo = grau_2(defasagem, nao_linear)
101     %Encontra os intervalos temporais com defasagem superiores a 2 graus
102     aux = 0;
103     for j = 1:length(defasagem)
104         if (defasagem(1,j) >= 2) && (aux == 0)
105             aux = 1;
106             fprintf("T: [%.3f ,", nao_linear(j))
107         elseif (defasagem(1,j) <= 2) && (aux == 1)
108             aux = 0;
109             fprintf(" %.3f] s\n", nao_linear(j))
110         end
111     end
112 end
113
114 function dX = linSys(t,x)
115     global g;
116     global l;
117     g = 9.81;
118     l = 1;
119
120     A = [0 1; (-g/l)*cos(x(1)) 0];
121     B = [0;0];
122     u = 0;
123
124     dX = A*x + B*u;
125 end
126
127 function dX_nao_linear = notlinSys(t,x)
128     global g;
129     global l;
130     g = 9.81;
131     l = 1;
132
133     dX_nao_linear(1,1) = x(2);
134     dX_nao_linear(2,1) = -(g/l)*sin(x(1));
135 end
136
137 function geraVideo(tempo,estadosN,estadosL,tempoTotal,L,titulo)
138     % entradas:
139     % tempo: vetor contendo os instantes de tempo da simula ?c~ao
140     % estadosN: vetor contando os estados ( theta e dot_theta )
141     % da simula~ao n~ao linear
142     % estadosL: vetor contando os estados ( theta e dot_theta )
143     % da simula~ao linear
144     % tempoTotal: tempo total da simula~ao
145     % L: comprimento do fio ( metros )
146     writerObj = VideoWriter (titulo,'Motion JPEG AVI');
147     writerObj.FrameRate = ceil(size(tempo,2) / tempoTotal);
```

```
148 - open (writerObj);
149 - fig = figure();
150 - ori = [0 0]; % origem do pêndulo
151 - f = 1;
152 - while f <= length(tempo)
153 -     theta_nao_linear = estadosN(1,f);
154 -     % determine aqui as coordenadas do corpo para o caso não linear (use L)
155 -     x_nao_linear = L*sin(theta_nao_linear);
156 -     y_nao_linear = -L*cos(theta_nao_linear);
157 -
158 -     % determine aqui as coordenadas do corpo para o caso linearizado (use L)
159 -     theta_linear = estadosL(1,f);
160 -     x_linear = L*sin(theta_linear);
161 -     y_linear = -L*cos(theta_linear);
162 -
163 -     axis ([-2 2 -2.5 0.5]);
164 -     hold on ;
165 -
166 -     % desenhe os pêndulos aqui
167 -     % não-linear
168 -     plot(x_nao_linear,y_nao_linear,'o','MarkerSize',10,'MarkerFaceColor','r')
169 -     line([0 x_nao_linear],[0 y_nao_linear]);
170 -
171 -     % linear
172 -     plot(x_linear,y_linear,'o','MarkerSize',10,'MarkerFaceColor','b')
173 -     line([0 x_linear],[0 y_linear]);
174 -
175 -     legend('Massa NL','Haste NL','Massa L','Haste L'); grid;
176 -
177 -     hold off;
178 -     F = getframe;
179 -     writeVideo(writerObj,F);
180 -     clf(fig);
181 -     f = f + 1;
182 - end
183 - close(writerObj);
184 - end
```

6. ANEXO C: *SCRIPT DA ATIVIDADE 3*

```

1      % Atividade 3
2 -   clear all; close all; clc;
3
4 -   global g;
5 -   global L1;
6 -   global L2;
7 -   global m1;
8 -   global m2;
9
10      % arbitrando valores para as variáveis
11 -   g = 9.81; % aceleração da gravidade
12 -   L1 = 1; % comprimento da haste 1
13 -   L2 = 0.5; % comprimento da haste 2
14 -   m1 = 2; % corpo de massa 1
15 -   m2 = 0.5; % corpo de massa 2
16
17      % condição inicial do sistema
18 -   x0 = [pi/4 0 pi/4 0];
19
20 -   tempoTotal = 10;
21 -   optOde = ode45('maxStep', 0.05);
22
23      % solução a partir da função de pêndulo duplo
24 -   outOde = ode45(@penduloDuplo,[0 tempoTotal],x0,optOde);
25
26      % plot da função
27 -   figure();
28 -   plot(outOde.x, outOde.y);
29 -   xlabel t(s); grid;
30 -   legend("\theta_{1}", "\omega_{1}", "\theta_{2}", "\omega_{2}");
31 -   title("Pêndulo Duplo: Comportamento de \theta e \omega em função do tempo");
32
33      % planos de fase
34 -   figure();
35 -   plot(outOde.y(1,:),outOde.y(2,:));
36 -   xlabel('\omega_1[rad/s]'); grid;
37 -   ylabel('\theta_1[rad]');
38 -   title("Pêndulo duplo: Plano de fase para \theta_{1} e \omega_{1}");
39
40 -   figure()
41 -   plot(outOde.y(3,:),outOde.y(4,:)); xlabel t;
42 -   xlabel('\omega_2[rad/s]'); grid;
43 -   ylabel('\theta_2[rad]');
44 -   title("Pêndulo duplo: Plano de fase para \theta_{2} e \omega_{2}");
45
46      % gerando video
47 -   geraVideo(outOde.x,outOde.y,tempoTotal,L1,L2,'penduloDuplo.avi');

```



UNICAMP



Faculdade de Engenharia de Eletrotécnicas e Computação

```
48
49 function dX = penduloDuplo(t,x)
50 - global L1;
51 - global L2;
52 - global m1;
53 - global m2;
54 - global g;
55
56 % variaveis de estado x1 = theta_1 , x2 = w_1 , x3 = theta_2 , x4 = w_2
57 - dX(1,1) = x(2);
58 - num1 = -g*(2*m1+m2)*sin(x(1))-m2*g*sin(x(1)-2*x(3))-2*sin(x(1)-x(3))*m2*(x(4)^2*L2+x(2)^2*L1*cos(x(1)-x(3)));
59 - den1 = L1*(2*m1+m2-m2*cos(2*x(1)-2*x(3)));
60 - num2 = 2*sin(x(1)-x(3))*(x(2)^2*L1*(m1+m2)+g*(m1+m2)*cos(x(1))+x(4)^2*L2*m2*cos(x(1)-x(3)));
61 - den2 = L2*(2*m1+m2-m2*cos(2*x(1)-2*x(3)));
62 - dX(2,1) = num1/den1;
63 - dX(3,1) = x(4);
64 - dX(4,1) = num2/den2;
65 - end
66
67 function geraVideo(tempo,estadosN,tempoTotal,L1,L2,titulo)
68 - % entradas :
69 - % tempo : vetor contendo os instantes de tempo da simula ?c~ao
70 - % estadosN : vetor contando os estados ( theta e dot_theta )
71 - %da simulação não linear
72 - % estadosL : vetor contando os estados ( theta e dot_theta )
73 - %da simulação linear
74 - % tempoTotal : tempo total da simula ?c~ao
75 - % L: comprimento do fio ( metros )
76 - writerObj = VideoWriter(titulo,'Motion JPEG AVI');
77 - writerObj.FrameRate = ceil(size(tempo,2)/tempoTotal);
78 - open(writerObj);
79 - fig = figure();
80 - ori = [0 0]; % origem do p^endulo
81 - f = 1;
82 - while f <= length(tempo)
83 -     theta1 = estadosN(1,f);
84 -     theta2 = estadosN(3,f);
85 -     % determine aqui as coordenadas do corpo para o corpo 1
86 -     x1 = L1*sin(theta1);
87 -     y1 = -L1*cos(theta1);
88 -     % determine aqui as coordenadas do corpo para o corpo 2
89 -     x2 = x1 + L2*sin(theta2);
90 -     y2 = y1 - L2*cos(theta2);
91
92 -     axis([-2 2 -2.5 0.5]);
93 -     hold on;
94 -     % desenhe os pêndulos aqui
95 -     plot(x1,y1,'o','MarkerSize',10,'MarkerFaceColor','r')
96 -     line([0 x1],[0 y1])
97 -     plot(x2,y2,'o','MarkerSize',10,'MarkerFaceColor','b')
98 -     line([x1 x2],[y1 y2])
99 -     hold off;
100 -     F = getframe;
```



UNICAMP



```
101 -     writeVideo(writerObj,F);
102 -     clf(fig);
103 -     f = f + 1;
104 - end
105 - close(writerObj);
106 - end
```